

TUGAS AKHIR

DESAIN STRUKTUR GEDUNG BERTINGKAT BETON BERTULANG DENGAN BENTANG BALOK PANJANG MENGGUNAKAN ANALISIS PUSHOVER

*Diajukan Sebagai Salah Satu untuk Menyelesaikan
Program Studi Strata 1 (S1) pada Program Studi Teknik Sipil
Universitas Mercu Buana*

Disusun Oleh :

**DHEA HARISMAYA SANTOSA
NIM. 41115120130**



**PROGRAM STUDI TEKNIK SIPIL
FAKULTAS TEKNIK
UNIVERSITAS MERCU BUANA
2017**



**LEMBAR PENGESAHAN SIDANG TUGAS AKHIR
PROGRAM STUDI TEKNIK SIPIL
FAKULTAS TEKNIK
UNIVERSITAS MERCU BUANA**

Q

Tugas Akhir ini untuk melengkapi tugas-tugas dan memenuhi persyaratan dalam memperoleh gelar Sarjana Teknik, jenjang pendidikan Strata 1 (S-1), Program Studi Teknik Sipil, Fakultas Teknik, Universitas Mercu Buana, Jakarta.

Judul Tugas Akhir : **Desain Struktur Gedung Bertingkat Beton Bertulang Dengan Balok Bentang Panjang Menggunakan Analisis Pushover**

Disusun oleh :

N a m a : Dhea Harismaya Santosa
N I M : 41115120130
Jurusan/Program Studi : Teknik Sipil

Telah diajukan dan dinyatakan LULUS pada sidang sarjana Tanggal 04 November 2017

UNIVERSITAS
MERCU BUANA
Pembimbing Tugas akhir

(Zainal Abidin Shahab, Ir. MT.)

Ketua Penguji

(Acep Hidayat, ST, MT.)

Ketua Program Studi

(Acep Hidayat, ST, MT)



**LEMBAR PERNYATAAN SIDANG SARJANA
PROGRAM STUDI TEKNIK SIPIL
FAKULTAS TEKNIK
UNIVERSITAS MERCU BUANA**

Q

Yang bertanda tangan di bawah ini:

Nama : Dhea Harismaya Santosa

Nomor Induk Mahasiswa : 41115120130

Program Studi : Teknik Sipil

Fakultas : Teknik

Menyatakan bahwa tugas akhir ini merupakan kerja asli, bukan jiplakan (duplikat) dari karya orang lain. Apabila ternyata pernyataan saya ini tidak benar maka saya bersedia menerima sanksi berupa pembatalan gelar kesarjanaan saya.

Demikian pernyataan ini saya buat dengan sesungguhnya untuk dapat dipertanggungjawabkan sepenuhnya.

Jakarta, Agustus 2017

Yang membuat pernyataan



Dhea Harismaya Santosa

ABSTRAK

Indonesia merupakan daerah rawan gempa, untuk mengurangi resiko bencana yang terjadi diperlukan konstruksi bangunan tahan gempa. Perencanaan tahan gempa umumnya didasarkan pada analisa struktur elastis yang kemudian diberi faktor beban untuk mensimulasi kondisi *ultimate* (batas). Kenyataannya bahwa perilaku keruntuhan bangunan saat gempa adalah inelastis. Evaluasi yang dapat memperkirakan kondisi inelastis bangunan saat gempa perlu untuk mendapatkan jaminan bahwa kinerjanya memuaskan saat gempa. Analisa dan evaluasi kinerja dapat dilakukan dengan analisa pushover yang built-in pada program ETABS, sedangkan titik kinerja untuk evaluasi masih harus ditentukan tersendiri dengan berbagai metoda (kecuali metode Spektrum Kapasitas). Analisa *pushover* (beban dorong statik) adalah analisa statik nonlinier perilaku keruntuhan struktur terhadap gempa, sedangkan titik kinerja adalah besarnya perpindahan maksimum struktur saat gempa rencana.

Hasil studi kasus pada portal 3D menyimpulkan bahwa titik kinerja yang menentukan adalah metode Koefisien Perpindahan FEMA-356 (ASCE, 2000) , sedangkan metode Spektrum Kapasitas (*built-in*) yang mengacu ATC-40 (ATC, 1996) memberikan nilai paling kecil (tidak konservatif). Analisa *pushover* juga menunjukkan bahwa daktilitas portal berbeda dalam arah saling tegak lurusnya, masukan penting untuk antisipasi gempa besar yang mungkin terjadi diluar gempa rencana.

MERCU BUANA

Kata kunci: SRPMK, gempa, titik kinerja, daktail, analisa pushover

ABSTRACT

Indonesia is an area prone to earthquakes, to reduce the risk of disasters that occur required earthquake-resistant building construction. Earthquake resistant planning is generally based on elastic structure analysis which is then given a load factor to simulate the ultimate condition (limit). The fact that the building collapse behavior of the earthquake is inelastic. Evaluations that can estimate the inelastic condition of buildings in an earthquake need to be assured that their performance is satisfactory in the event of an earthquake. Performance analysis and evaluation can be performed with built-in pushover analysis in the ETABS program, while performance points for evaluation should still be determined separately by various methods (except the Spectrum Capacity method). Pushover analysis (static thrust load) is a nonlinear static analysis of structural collapse behavior against earthquakes, whereas the performance point is the maximum displacement of structures during the earthquake plan.

The case study results on the 3D portal concluding that the determining performance point is the FEMA-356 Movement Coefficient Method (ASCE, 2000), whereas the built-in Spectrum Capacity (ATC-40 (ATC 1996) provides the smallest value (Not conservative). Pushover analysis also shows that portal ductility differs in direction of perpendicularity, an important input to anticipate major earthquakes that may occur outside the earthquake plan.

MERCU BUANA

Keyword : SRPMK, point performance, ductail, analysis.

PERSEMBAHAN

Tugas Akhir ini saya persembahkan untuk :

Ibunda dan Ayahanda Tercinta, juga Keluarga yang selalu menyertai dengan do'a, Terimakasih.



“ Bukanlah suatu aib jika kamu gagal dalam suatu usaha, yang merupakan aib adalah jika kamu tidak bangkit dari kegagalan itu “. (Ali bin Abu Thalib)

Sesungguhnya urusan-Nya apabila Dia menghendaki sesuatu Dia hanya berkata kepadanya, ”Jadilah!“ Maka jadilah sesuatu itu. (QS Yasin : 82)

Alhamdulillahirabbil'alamin puji dan syukur saya panjatkan kepada Allah SWT, berkat hidayah-nya laporan Tugas Akhir ini telah selesai disusun. Shalawat beserta salam tetap tercurah limpahkan kepada nabi besar Muhammad SAW, kepada keluarganya dan para sahabat-sahabatnya.

Tugas akhir ini saya persembahkan kepada kedua orang tua saya tercinta, ayah dan ibu yang selalu mendoakan, memberikan semangat, dukungan, tenaga, dan fikiran serta nasihat beliau kepada saya setiap saat. Terimakasih banyak atas semua pengorbanannya, semoga selalu dalam lindungan Allah SWT. Amien..

Atas nama pribadi, mengucapkan terimakasih banyak kepada pembimbing Tugas Akhir saya kepada bapak Zainal Abidin Shahab, Ir. MT. yang senantiasa membimbing saya dalam menyelesaikan dan menyusun laporan Tugas Akhir ini.

Penulis : Jakarta

KATA PENGANTAR

Laporan perencanaan “**Desain Struktur Gedung Bertingkat Beton Bertulang Dengan Balok Bentang Panjang Menggunakan Analisis Pushover**” yang berisikan tentang gambaran umum mengenai perilaku, analisis, dan desain struktur secara keseluruhan. Perencanaan struktur mengikuti peraturan yang di tetapkan pemerintah Indonesia yang berlaku, analisis struktur mempertimbangkan beban-beban yang bekerja pada bangunan yang meliputi beban mati (*Dead*), beban hidup (*Live*), beban mati tambahan akibat material-material yang menempel pada struktur bangunan dan beban akibat gempa bumi (*Earthquake*). Sebagian besar wilayah Indonesia merupakan wilayah yang memiliki tingkat kerawanan yang tinggi terhadap gempa, oleh sebab itu analisis struktur terhadap beban gempa menjadi suatu keharusan yang harus terpenuhi dan pemilihan sistem struktur yang sesuai dengan kondisi dimana bangunan tersebut akan berdiri. Sistem struktur tahan gempa berdasarkan SNI 2847-2013, secara umum dapat dibedakan atas Sistem Rangka Pemikul Momen (SRPM).

Dalam prosedur perencanaan berdasarkan SNI Gempa, struktur bangunan tahan gempa pada prinsipnya boleh direncanakan terhadap beban gempa yang direduksi dengan suatu faktor modifikasi respons struktur (Faktor ‘R’). Dengan penerapan konsep ini, pada saat gempa kuat terjadi, elemen-elemen struktur bangunan tertentu yang dipilih diperbolehkan mengalami plastisifikasi (Kerusakan) sebagai sarana untuk pendisipasian energi gempa yang diterima struktur.

Jakarta, Oktober 2017

Penyusun

DAFTAR ISI

KATA PENGANTAR.....	viii
DAFTAR ISI	x
DAFTAR GAMBAR.....	xiii
DAFTAR TABEL	xvi
DAFTAR NOTASI	xviii
DAFTAR LAMPIRAN.....	xxv
BAB I PENDAHULUAN	
1.1 Latar Belakang	I-1
1.2 Identifikasi Masalah	I-4
1.3 Perumusan Masalah	I-4
1.4 Maksud dan Tujuan Penelitian.....	I-4
1.5 Manfaat Penelitian	I-4
1.6 Pembatasan Masalah dan Ruang Lingkup	I-4
1.7 Sistematika Penulisan	I-5
BAB II TINJAUAN PUSTAKA	
2.1 Pedoman Perencanaan.....	II-1
2.2 Tinjauan Umum Struktur Gedung Bertingkat.....	II-1
2.3 Perencanaan Elemen Struktur (<i>Preliminary Design</i>).....	II-1
2.3.1 Perencanaan Dimensi Kolom	II-1
2.3.2 Perencanaan Dimensi Balok.....	II-3
2.3.3 Perencanaan Dimensi Pelat Lantai	II-3
2.4 Perencanaan Struktur Tahan Gempa.....	II-4
2.4.1 Kategori Resiko Bangunan Gedung & Faktor Keutamaan Gempa.....	II-6
2.4.2 Parameter Percepatan Tanah (S_s, S_l)	II-9
2.4.3 Klasifikasi Situs (S_A, S_F)	II-10
2.4.4 Koefisien Situs (F_a, F_V).....	II-11
2.4.5 Parameter Percepatan Spektra Desain (S_{DS}, S_{DI})	II-12

2.4.6 Perencanaan Respons Spektrum.....	II-12
2.4.7 Kategori Desain Seismik	II-14
2.4.8 Perencanaan Bangunan Tahan Gempa	II-14
2.5 Analisa Statik <i>Nonlinear Pushover</i>	II-16
2.5.1 Kurva Kapasitas <i>Pushover</i>	II-17
2.5.2 Tahapan <i>Pushover</i> Analisis	II-20
2.5.3 Struktur Dengan Ketidakberaturan Torsi.....	II-21
2.5.4 Perencanaan Urutan Sendi Plastis	II-22
2.6 Indeks Redudansi	II-26

BAB III METODOLOGI

3.1 Diagram Alir Prosedur Penelitian	III-1
3.2 Prosedur Penelitian	III-2
3.3 Desain Struktur	III-2
3.3.1 Material Struktur	III-3
3.3.2 Geometri Struktur.....	III-3
3.4 <i>Preliminary Design</i>	III-3
3.5 Pembebanan	III-4
3.5.1 Asumsi dan Perancangan.....	III-4
3.5.2 Analisis Beban.....	III-4
3.5.3 Kombinasi Beban Gempa.....	III-5
3.5.4 Lokasi Parameter Percepatan Gempa	III-5

BAB IV PERENCANAAN DAN ANALISIS STRUKTUR

4.1 Perencanaan dan Analisis Struktur	IV-1
4.1.1 Material Struktur.....	IV-1
4.1.2 Geometri Struktur	IV-2
4.2 <i>Preliminary Design</i>	IV-2
4.2.1 Perencanaan Balok	IV-3
4.2.2 Perencanaan Pelat	IV-4
4.2.3 Perencanaan Kolom	IV-6
4.3 Pemodelan Struktur.....	IV-7

4.4 Perencanaan Beban Struktur	IV-8
4.5 Beban Mati (<i>Dead Load</i>)	IV-8
4.6 Beban Hidup (<i>Live Load</i>)	IV-9
4.7 Perhitungan Beban Gravitasi	IV-9
4.8 Beban Gempa (<i>Earthquake Load</i>)	IV-13
4.8.1 Faktor Keutamaan Gempa	IV-14
4.8.2 Klasifikasi Situs	IV-15
4.8.3 Parameter Terpetakan	IV-15
4.8.4 Pemilihan Sistem Penahan Gaya Gempa.....	IV-16
4.8.5 Koefisien Situs	IV-16
4.8.6 Parameter Percepatan Spektra Desain	IV-17
4.8.7 Kategori Desain Seismik.....	IV-17
4.8.8 Kontrol Analisis	IV-18
4.8.9 Distribusi Gaya Lateral Ekuivalen.....	IV-19
4.9 Efektivitas Penampang	IV-23
4.9.1 Input Parameter Desain Struktur Beton	IV-23
4.9.2 Input Kombinasi Beban Untuk Perancangan.....	IV-24
4.9.3 Pusat Gempa Bangunan	IV-24
4.9.4 Cek Ketersediaan Penulangan.....	IV-26
4.9.5 Input Respons Spektrum Gempa Rencana.....	IV-27
4.9.6 Menghitung Berat Struktur.....	IV-28
4.9.7 Menghitung Distribusi Beban Gempa	IV-28
4.9.8 Menentukan Eksentrisitas Rencana	IV-30
4.9.9 Input Beban Gempa Statik	IV-33
4.9.10 Gaya Geser Dasar Nominal, V (<i>Base Shear</i>)	IV-35
4.9.11 Simpangan Antar Lantai	IV-37
4.10 Kontrol Pengaruh P-Delta	IV-39
4.11 Desain Tulangan	IV-41
4.11.1 Desain Tulangan Balok.....	IV-42
4.11.2 Desain Tulangan Kolom	IV-44
4.12 Analisis Non-linear <i>Pushover</i> Simultan	IV-45
4.12.1 Sendi Plastis Simultan.....	IV-45

4.12.2 Pembebanan Akibat Beban Gravitasi (<i>Push 1</i>).....	IV-46
4.12.3 Pembebanan Akibat Beban Lateral (<i>Push 2</i>)	IV-46
4.12.4 Perilaku Struktur Non-Linear <i>Pushover</i> Simultan.....	IV-48
4.13 Analisis Non-linear <i>Pushover</i> Dengan Perencanaan Sendi Plastis	IV-52
4.14 Kurva Analisis <i>Pushover</i>	IV-52
4.14.1 Kurva Pushover Pada Struktur.....	IV-53
4.14.2 Persentase <i>Base Force</i>	IV-55
BAB V SIMPULAN DAN SARAN	
5.1 Simpulan	V-1
5.2 Saran.....	V-2
DAFTAR PUSTAKA.....	xxv

LAMPIRAN



DAFTAR GAMBAR

Gambar 1.1	Ilustrasi Keruntuhan Gedung	II-7
Gambar 2.1	Perioda Respons Spektral 0,2 detik.....	II-9
Gambar 2.2	Periode Respons Spektral 1 detik.....	II-9
Gambar 2.3	Respons Spektrum Rencana.....	II-13
Gambar 2.4	Ilustrasi Keruntuhan Bangunan.....	II-15
Gambar 2.5	Perilaku Pasca Leleh Struktur	II-18
Gambar 2.6	Modifikasi <i>Capacity Curve</i> menjadi <i>Capacity Spectrum</i>	II-20
Gambar 2.7	Langkah Utama Untuk <i>Pushover Analysis</i>	II-20
Gambar 2.8	Skema Ketidakberaturan Torsi.....	II-21
Gambar 2.9	Properti Sendi Plastis	II-22
Gambar 2.10	Sendi Plastis yang Terjadi Pada Balok dan Kolom.....	II-23
Gambar 2.11	Perencanaan Sendi Plastis	II-25
Gambar 2.12	Perencanaan Sendi Serentak	II-25
Gambar 2.13	Grafik Perbandingan Urutan Sendi Plastis.....	II-26
Gambar 3.1	Flowchart Penelitian.....	III-1
Gambar 3.2	Penentuan Desain Spektra Wilayah Bandung.....	III-6
Gambar 4.1	Material Beton dan Baja Tulangan	IV-1
Gambar 4.2	Model 3D Struktur.....	IV-2
Gambar 4.3	Denah Struktur	IV-3
Gambar 4.4	Denah Pembalokan Arah Horizontal	IV-3
Gambar 4.5	Denah Pembalokan Arah Vertikal	IV-3
Gambar 4.6	Denah Pelat Lantai	IV-5
Gambar 4.7	Denah Pelat Lantai yang Ditinjau	IV-5
Gambar 4.8	Penerimaan Beban Kolom	IV-6
Gambar 4.9	Pemodelan Struktur Horizontal.....	IV-7
Gambar 4.10	Pemodelan Struktur Vertikal.....	IV-8
Gambar 4.11	<i>Static Load Case</i> pada Etabs	IV-8
Gambar 4.12	Beban Mati Tambahan (<i>Dead Load</i>) pada Pelat	IV-11
Gambar 4.13	Beban Mati Tambahan (<i>Dead Load</i>) pada Balok	IV-11
Gambar 4.14	Beban Mati Tambahan (<i>Dead Load</i>) pada Lantai Atap	IV-12
Gambar 4.15	Beban Hidup (<i>Live Load</i>) pada Pelat	IV-12
Gambar 4.16	Beban Hidup (<i>Live Load</i>) pada Lantai Atap	IV-13

Gambar 4.17	Input Data Massa Struktur	IV-13
Gambar 4.18	Input Diagfragma pada Masing-masing Lantai.....	IV-14
Gambar 4.19	Respons Gempa Percepatan 0.2 detik (SS) Untuk Probabilitas 2% dalam 50 tahun.....	IV-15
Gambar 4.20	Respons Gempa Percepatan 1 detik (SS) Untuk Probabilitas 2% dalam 50 tahun	IV-15
Gambar 4.21	Waktu Getar Struktur Mode 1 (Arah X) ; $T_I=1,558$ detik	IV-20
Gambar 4.22	Waktu Getar Struktur Mode 1 (Arah Y) ; $T_I=1,524$ detik	IV-20
Gambar 4.23	Input Nilai Prosentase Efektifitas Penampang Balok	IV-23
Gambar 4.24	Input Nilai Prosentase Efektifitas Penampang Kolom.....	IV-23
Gambar 4.25	Input Parameter Desain Struktur.....	IV-24
Gambar 4.26	Input Kombinasi Beban Untuk Perancangan	IV-24
Gambar 4.27	Pusat Massa Struktur.....	IV-25
Gambar 4.28	Pusat Rotasi Struktur.....	IV-26
Gambar 4.29	Output Ketersediaan Penulangan pada Etabs.....	IV-26
Gambar 4.30	<i>Response Spectrum Function</i>	IV-27
Gambar 4.31	<i>Response Spectrum Function</i>	IV-27
Gambar 4.32	Input Massa Beban Mati Tambahan dan Beban Hidup Tereduksi	IV-28
Gambar 4.33	Diaphragms Struktur	IV-30
Gambar 4.34	Input Kordinat Pusat Massa Baru ke Grid	IV-33
Gambar 4.35	Hasil Input Kordinat Pusat Massa.....	IV-33
Gambar 4.36	Input Beban Gempa Statik <i>Load Case EQx</i>	IV-34
Gambar 4.37	Input Beban Gempa Statik <i>Load Case EQy</i>	IV-34
Gambar 4.38	Penyatuan Beban Gempa pada Diaphragms	IV-35
Gambar 4.39	Modifikasi Skala Faktor <i>Response Spectrum Case</i> Struktur.....	IV-37
Gambar 4.40	Grafik Simpangan Antar Lantai Arah X	IV-39
Gambar 4.41	Grafik Koefisien Stabilitas P-delta Arah X &Y	IV-42
Gambar 4.42	Hasil Output As Minimum pada Struktur Beraturan	IV-43
Gambar 4.43	As Minimum Balok Pinggir As 1 pada Strory 1	IV-43
Gambar 4.44	Tulangan Longitudinal	IV-44
Gambar 4.45	Tulangan Longitudinal Balok (Tumpuan)	IV-45
Gambar 4.46	Tulangan Longitudinal Balok (Lapangan)	IV-45
Gambar 4.47	Tulangan Longitudinal Kolom (Lapangan)	IV-46
Gambar 4.48	Memasukkan Sendi Plastis pada Balok dan Kolom.....	IV-47

Gambar 4.49	Sendi Plastis pada Struktur.....	IV-47
Gambar 4.50	<i>Pushover Case</i> untuk Beban Gravitasi.....	IV-48
Gambar 4.51	<i>Pushover Case</i> untuk Beban Lateral Arah X	IV-49
Gambar 4.52	<i>Pushover Case</i> untuk Beban Lateral Arah Y	IV-49
Gambar 4.53	Hasil <i>Running Push X Step 1</i>	IV-50
Gambar 4.54	Hasil <i>Running Push X Step 2</i>	IV-50
Gambar 4.55	Hasil <i>Running Push X Step 3</i>	IV-51
Gambar 4.56	Hasil <i>Running Push X Step 4</i>	IV-51
Gambar 4.57	Hasil <i>Running Push X Step 5</i>	IV-51
Gambar 4.58	Hasil <i>Running Push X Step 6</i>	IV-52
Gambar 4.59	Hasil <i>Running Push Y Step 1</i>	IV-52
Gambar 4.60	Hasil <i>Running Push Y Step 2</i>	IV-52
Gambar 4.61	Hasil <i>Running Push Y Step 3</i>	IV-53
Gambar 4.62	Hasil <i>Running Push Y Step 4</i>	IV-53
Gambar 4.63	Hasil <i>Running Push Y Step 5</i>	IV-53
Gambar 4.64	Hasil <i>Running Push Y Step 6</i>	IV-54
Gambar 4.65	Hasil <i>Running Push Y Step 7</i>	IV-54
Gambar 4.66	Hasil <i>Running Push Y Step 8</i>	IV-54
Gambar 4.67	Hasil <i>Running Push Y Step 9</i>	IV-55
Gambar 4.68	Hasil <i>Running Push Y Step 10</i>	IV-55
Gambar 4.69	<i>Pushover Case Push 2x</i>	IV-56
Gambar 4.70	<i>Pushover Case Push 2Y</i>	IV-57
Gambar 4.71	Kurva <i>Pushover Case Push 2x</i>	IV-59
Gambar 4.72	Kurva <i>Pushover Case Push 2Y</i>	IV-59

DAFTAR TABEL

Tabel 2.1 Tabel Minimum Balok.....	II-3
Tabel 2.2 Tabel Pelat Minimum Tanpa Balok Interior.....	II-3
Tabel 2.3 Hubungan Antara Magnitude dan Intensitas Gempa	II-4
Tabel 2.4 Simpangan Antar Lantai Ijin	II-6
Tabel 2.5 Kategori Resiko Gempa.....	II-7
Tabel 2.6 Faktor Keutamaan Gempa	II-8
Tabel 2.7 Klasifikasi Situs	II-10
Tabel 2.8 Koefisien Situs F_v Untuk Menentukan Nilai S_I	II-11
Tabel 2.9 Koefisien Situs F_a Untuk Menentukan Nilai S_S	II-11
Tabel 2.10 Kategori desain seismik berdasarkan parameter respons percepatan pada periode pendek	II-14
Tabel 2.11 Kategori desain seismik berdasarkan parameter respons percepatan pada periode 1 detik berdasarkan SNI 1726-2012	II-14
Tabel 3.1 Material Struktur yang Digunakan	III-3
Tabel 3.2 Geometri Struktur yang Ditentukan	III-3
Tabel 4.1 Pembebanan Struktur Gedung	IV-7
Tabel 4.2 Kategori Risiko Bangunan Gedung dan Non-gedung Untuk Beban Gempa.....	IV-14
Tabel 4.3 Faktor Keutamaan Gempa	IV-14
Tabel 4.4 Klasifikasi Situs	IV-15
Tabel 4.5 Pemilihan Sistem Struktur Berdasarkan Tingkat Resiko Gempa	IV-16
Tabel 4.6 Faktor R , C_d , Ω_0 untuk Sistem Penahan Gempa	IV-16
Tabel 4.7 Koefisien Situs F_a	IV-17
Tabel 4.8 Koefisien Situs F_V	IV-17
Tabel 4.9 Kategori Desain Seismik Berdasarkan Parameter Respons Percepatan Pada Periode Pendek Berdasarkan SNI 1726-2012	IV-18
Tabel 4.10 Kategori Desain Seismik Berdasarkan Parameter Respons Percepatan Pada Periode 1 detik Berdasarkan SNI 1726-2012.....	IV-18
Tabel 4.11 Nilai Parameter Pendekatan C_t dan x	IV-19
Tabel 4.12 Koefisien Batas Atas pada Periode yang Dihitung.....	IV-19

Tabel 4.13 Perhitungan Periode ΔT	IV-21
Tabel 4.14 Pusat Massa Bangunan	IV-25
Tabel 4.15 Pusat Rotasi Bangunan	IV-25
Tabel 4.16 Berat Sendiri Gedung pada Setiap Lantai Struktur.....	IV-28
Tabel 4.17 Perhitungan Gaya Gempa Setiap Lantai Arah X	IV-29
Tabel 4.18 Perhitungan Gaya Gempa Setiap Lantai Arah Y	IV-29
Tabel 4.19 Cek Waktu Getar Struktur	IV-30
Tabel 4.20 Faktor Pembesaran Torsi Tak Terduga.....	IV-31
Tabel 4.21 Perhitungan Eksentrisitas Torsi Bawaan (e_0)	IV-31
Tabel 4.22 Perhitungan Eksentrisitas Renacana Arah X (e_d)	IV-32
Tabel 4.23 Perhitungan Eksentrisitas Renacana Arah Y (e_d)	IV-32
Tabel 4.24 Nilai Base Shear Dinamik Arah X.....	IV-35
Tabel 4.25 Nilai Base Shear Dinamik Arah Y.....	IV-36
Tabel 4.26 Simpangan Struktur Arah X	IV-38
Tabel 4.27 Simpangan Struktur Arah Y	IV-39
Tabel 4.28 Values for Effective Mass Factor C_m^1	IV-40
Tabel 4.29 Values for Modification Factor C_0^1	IV-40
Tabel 4.30 Values for Modification Factor C_0^1	IV-40
Tabel 4.31 Pengaruh P-Delta Arah X	IV-42
Tabel 4.32 Pengaruh P-Delta Arah Y	IV-42
Tabel 4.33 Evaluasi Kinerja Struktur	IV-56
Tabel 4.34 Dimensi Balok	IV-58
Tabel 4.35 Dimensi Kolom.....	IV-58

DAFTAR NOTASI

A

- a Tinggi blok tegangan persegi ekuivalen
 A_{ch} Luas penampang komponen struktur dari sisi luar ke sisi luar tulangan transversal
 A_g Luas bruto penampang
 A_s Luas tulangan tarik
 A_s' Luas tulangan tekan
 A_{sh} Luas sengkang tulangan hubungan balok-kolom
 A_v Luas tulangan sengkang
 A_{vmin} Luas tulangan sengkang minimum



B

- b Ukuran horisontal terbesar denah struktur gedung yang diukur tegak lurus pada arah pembebanan gempa (pada perancangan gempa)
 b Lebar muka tekan pada komponen struktur
 β_1 Faktor yang didefinisikan dalam pasal 12.2(7(3)) SNI 03-2847-2002
 β_d Rasio dari beban tetap aksial terfaktor maksimum terhadap beban aksial terfaktor maksimum dari kombinasi beban yang sama.

C

- C Letak garis netral
 C Faktor respons gempa
 C_1 Ukuran kolom persegi atau persegi ekuivalen, kepala kolom. Atau konsol pendek diukur dalam arah bentang dimana momen dihitung
 C_2 Ukuran kolom persegi atau persegi ekuivalen, kepala kolom. Atau konsol pendek diukur dalam arah tegak lurus terhadap bentang dimana momen dihitung

C_c	Gaya pada beton
C_m	Faktor yang menghubungkan diagram momen aktual dengan suatu diagram momen merata ekuivalen.
C_s	Gaya pada tulangan baja

D

d	Tinggi efektif penampang, ditentukan dari serat tekan terluar sampai dengan titik berat tulangan tarik
d'	Jarak serat tekan terluar ke titik berat tulangan tekan
d_i	<i>Displacement</i> lantai ke-i akibat gempa
DL	Beban mati
Δ_0	Simpangan relatif antar tingkat orde-pertama pada tingkat yang ditinjau akibat V_u
δ_{ns}	Faktor pembesar momen untuk rangka yang ditahan terhadap goyangan ke samping, untuk menggambarkan pengaruh kelengkungan komponen struktur diantara ujung-ujung komponen struktur tekan.
δ_s	faktor pembesar momen untuk rangka yang tidak ditahan terhadap goyangan ke samping, untuk menggambarkan penyimpangan lateral akibat beban lateral dan gravitasi.



E

e	Eksentrisitas toritis antara pusat rotasi dan pusat massa
E	Beban gempa
E_a	
E_c	Modulus elastisitas beton
E_d	Eksentrisitas desain
EI	Kekakuan lentur komponen struktur tekan
E_s	Modulus elastisitas tulangan
e_x	Eksentrisitas arah X

e_y	Elsentrisitas arah Y
ϵs	Regangan tulangan tarik
$\epsilon s'$	Regangan tulangan tekan
F	
F_I	
$f_{c'}$	Kuat Karakteristik Beton
F_i	Beban geser pada lantai ke-i akibat gempa
f_s'	Tegangan leleh tulangan baja yang tertarik
F_x	Beban gempa arah X
F_y	Beban gempa arah Y
F_{yh}	Tulangan yang disyaratkan untuk tulangan sengkang cincin, sengkang tertutup atau spiral
G	
g	Percepatan gravitasi
H	
H	Tinggi bangunan
h	Tinggi penampang komponen
h_c	Dimensi penampanginti kolom diukur dari sumbu ke sumbu tulangn pengekang
I	
I	Faktor keutamaan bangunan
I_a	Momen Inersia pada kolom ‘a’
I_b	Momen Inersia pada kolom ‘b’
I_b	Momen inersia balok
K	
k	Faktor panjang efektif

L

l_a	Panjang penjangkaran tambahan pada daerah tumpuan atau pada titik blok garis elastis
l_c	Jarak vertical antara dua tumpuan
LL	Beban hidup
L_n	Jarak bersih
l_o	panjang bentang dari komponen struktur tekan yang diukur dari sumbu ke sumbu joint.
l_u	Panjang efektif kolom

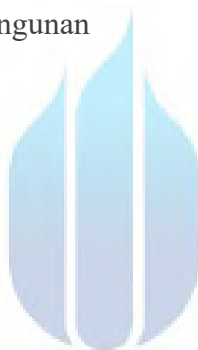
M

M_1	Momen ujung terfaktor yang lebih kecil pada kolom
M_{1ns}	nilai yang lebih kecil dari momen-momen ujung terfaktor pada komponen struktur tekan akibat beban yang tidak menimbulkan goyangan ke samping yang berarti pada struktur.
M_{1s}	nilai yang lebih kecil dari momen-momen ujung terfaktor pada komponen struktur tekan akibat beban yang menimbulkan goyangan ke samping yang berarti pada struktur
M_2	Momen ujung terfaktor yang lebih besar pada kolom, selalu bernilai positif.
M_{2ns}	nilai yang lebih besar dari momen-momen ujung terfaktor pada komponen struktur tekan akibat beban yang tidak menimbulkan goyangan ke samping yang berarti pada struktur.
M_{2s}	nilai yang lebih besar dari momen-momen ujung terfaktor pada komponen struktur tekan akibat beban yang menimbulkan goyangan ke samping yang berarti pada struktur
M_{cx}	Momen terfaktor pada kolom arah X
M_{cy}	Momen terfaktor pada kolom arah Y
M_{nb}	Momen nominal penampang

M_n^+	Momen nominal tumpuan positif
M_n^-	Momen nominal tumpuan negative
$M_{n \max}$	Momen nominal tumpuan maksimum
M_{pr}	Momen plastis ($1,25 f_y$)
M_s	momen akibat beban yang menimbulkan goyangan ke samping yang berarti pada struktur.
M_u^+	Momen terfaktor tumpuan positif
M_u^-	Momen terfaktor tumpuan positif

N

n Jumlah tingkat bangunan



P

\varnothing	Konstanta 0.8
π	Konstanta 3.14
P	Tekanan tiup (kg/m^2)
P_c	rasio dari beban tetap aksial terfaktor maksimum terhadap beban aksial terfaktor maksimum dari kombinasi beban yang sama.
P_n	Beban aksial nominal
P_{nb}	Kuat beban aksial nominal pada kondisi regangan seimbang
$P_{n \max}$	Beban aksial nominal maksimal
P_u	Beban aksial

Q

Q Indeks stabilitas

R

r Radius girasi penampang kolom

R	Faktor reduksi gempa (Perhitungan beban gempa)
ρ	Rasio tulangan tarik non-prategang
ρ'	Rasio tulangan tekan
ρ_{\max}	Rasio tulangan maksimum
ρ_{\min}	Rasio tulangan minimum

S

s	Jarak antar sengkang
---	----------------------

T

T_1	Waktu getar alami Fundamental
-------	-------------------------------

V

V	Beban Geser Dasar Nominal Statik Ekivalen
V_c	Gaya geser akibat beton
V_e	Gaya geser pada kondisi SRPMK
ΣV_{eb}	Jumlah kumulatif gaya geser pada balok
V_{el}	Gaya geser pada kondisi SRPMK balok sebelah kiri
V_{er}	Gaya geser pada kondisi SRPMK balok sebelah kanan

V_{jh}	Gaya horizontal pada hubungan balok-kolom
V_{jv}	Gaya vertikal pada hubungan balok-kolom
V_s	Gaya geser akibat tulangan
V_u	Gaya geser terfaktor pada penampang

W

W	Beban angin
W_i	Berat lantai ke-i
W_t	Berat total bangunan

Y

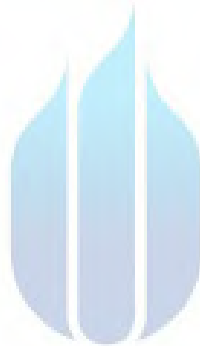
Ψ rasio $\Sigma \left(\frac{EI}{l_c} \right)$ dari komponen struktur tekan terhadap $\Sigma \left(\frac{EI}{l} \right)$ dari komponen struktur lentur pada salah satu ujung komponen struktur tekan yang dihitung dalam bidang rangka yang ditinjau.

Z

Z Tinggi lantai dihitung dari taraf penjepitan lateral

ΣP_u Beban vertikal total pada tingkat yang ditinjau

ζ Koefisien yang membatasi waktu getar alami Fundamental struktur gedung



UNIVERSITAS
MERCU BUANA